

ДИФфуЗИЯ НА ШЕРОХОВАТОЙ ПОВЕРХНОСТИ

И.М. Соколов

Рассмотрена задача о диффузии частиц на шероховатой поверхности $z(x,y)$, характеризуемой локальным коэффициентом диффузии D_0 . В рамках приближения эффективной среды вычислена зависимость среднего коэффициента диффузии частиц в плоскости (x,y) от степени шероховатости поверхности.

При исследовании скорости поверхностных реакций, например, реакций при гетерогенном катализе, а также в биологии при исследовании свойств клеточной мембраны возникает задача о диффузии частиц на шероховатой поверхности, заданной функцией $z(x,y)$. Сама поверхность характеризуется локальным коэффициентом диффузии D_0 . В данной работе определен средний коэффициент диффузии частиц в плоскости (x,y) : $D = \lim_{t \rightarrow \infty} [(x^2 + y^2)/t]$. Предполагается, что z — гауссова случайная величина, имеющая дисперсию h_0 и парную корреляционную функцию $G_2(r)$.

Рассмотрим движение частиц в проекции на плоскость (x,y) . Проекция плотности диффузионного потока частиц на плоскость (x,y) совпадает с величиной этого потока, записанной в ковариантных координатах, и равна $j_i = D_0 g^{ik} \partial n / \partial x^k$, где g^{ik} — тензор, обратный метрическому тензору поверхности. В нашем случае g^{ik} можно записать в виде

$$g = \frac{1}{1 + \left(\frac{\partial z}{\partial x}\right)^2 + \left(\frac{\partial z}{\partial y}\right)^2} \begin{pmatrix} 1 + \left(\frac{\partial z}{\partial y}\right)^2 & -\frac{\partial z}{\partial x} \frac{\partial z}{\partial y} \\ -\frac{\partial z}{\partial x} \frac{\partial z}{\partial y} & 1 + \left(\frac{\partial z}{\partial x}\right)^2 \end{pmatrix} = \begin{pmatrix} \frac{1 + \rho^2 \cos^2 \theta}{1 + \rho^2} & -\frac{\rho^2 \sin 2\theta}{2(1 + \rho^2)} \\ -\frac{\rho^2 \sin 2\theta}{2(1 + \rho^2)} & \frac{1 + \rho^2 \sin^2 \theta}{1 + \rho^2} \end{pmatrix},$$

где $\rho = |\text{grad } z|$; $\theta = \text{arctg} \left(\frac{\partial z}{\partial y} / \frac{\partial z}{\partial x} \right)$. Матрица g^{ij} имеет $\text{Sp } g^{ij} = (2 + \rho^2)/(1 + \rho^2)$, $\det g^{ij} = (1 + \rho^2)^{-1}$, и ее собственные значения равны $g_1 = 1$, $g_2 = (1 + \rho^2)^{-1}$. Ориентация ее собственных векторов определяется углом θ : один из них направлен вдоль линии уровня $z = \text{const}$, другой — перпендикулярно к ней, вдоль $\text{grad } z$. Для гауссовой случайной величины z распределение $\partial z / \partial x$, $\partial z / \partial y$ также гауссово с дисперсией $S^2 = -h_0^2 \Delta G_2(r) |_{r=0} / 1!$, так что $p(\rho) = \rho \exp(-\rho^2 / 2S^2)$. Величина θ распределена равномерно на интервале $(0, 2\pi)$. Значение S , являющееся важнейшей для данного рассмотрения характеристикой поверхности, назовем степенью шероховатости.

Плотность частиц в проекции на (x,y) равна $n(x,y) = n\sqrt{g}$, где $g = 1 + \rho^2$ — определитель метрического тензора. Таким образом, в плоскости (x,y) диффузионный поток определяется уравнением

$$j_i = D_0 g^{ij} \frac{\partial}{\partial x^j} \frac{n}{\sqrt{g}}.$$

Равновесное значение концентрации $n_0 = n_0 \sqrt{g}$ ($n_0 = \text{const}$).

Средний коэффициент диффузии D в плоскости (x,y) можно определить, исследуя отклик системы на внешнее поле и используя соотношение Эйнштейна между коэффициентом диффузии и подвижностью частиц и, следовательно, проводимостью системы. Локальное значение тензора проводимости пропорционально $\hat{\sigma} \sim \hat{D} n_0$, где n_0 — локальное равновесное значение концентрации, \hat{D} — локальный тензор коэффициента диффузии, в данном случае равный $\hat{D} = D_0 g^{ij}$. Тогда средний коэффициент диффузии определяется

из соотношения $D = \langle \nu_0 \hat{D} \rangle_\sigma / \langle \nu_0 \rangle$, где $\langle \nu_0 \rangle$ – среднее по объему значение равновесной концентрации, $\langle \hat{\sigma} \rangle_\sigma$ – макроскопическая проводимость системы с локальной проводимостью $\sigma^{ij} = D_0 g^{ij}(x,y) \nu_0(x,y)$. Таким образом, задача сводится к вычислению макроскопической проводимости неупорядоченной системы, в которой локальный тензор проводимости имеет главные значения $\sigma_1 = \sqrt{1 + \rho^2} / \langle \sqrt{1 + \rho^2} \rangle$, $\sigma_2 = (\sqrt{1 + \rho^2} \langle \sqrt{1 + \rho^2} \rangle)^{-1}$ и случайную ориентацию главных осей.

Макроскопическую проводимость этой системы можно вычислить с помощью приближения эффективной среды. Рассмотрим круговую область небольшого размера (так что внутри нее $\hat{\sigma} = \text{const}$)*. При вычислении тока в этой области полагаем, что выделенный участок среды помещен в поле, равное среднему макроскопическому полю \mathcal{E} , и окружен средой с проводимостью, равной средней макроскопической проводимости σ . Вводя оси координат, совпадающие с главными осями тензора $\hat{\sigma}$, в полной аналогии с задачей о диэлектрическом эллипсоиде [3] получим:

$$j_i = 2\sigma_1 \sigma \mathcal{E}_i / (\sigma_1 + \sigma), \quad (1)$$

где j_i – плотность тока в рассматриваемой области; σ_i – главное значение тензора $\hat{\sigma}$, соответствующее рассматриваемой оси. Из определения σ имеем, что в среднем по среде

$$\langle j \rangle - \sigma \langle \mathcal{E} \rangle = 0. \quad (2)$$

Усредняя по ориентации главных осей и по распределению главных значений σ_i , из (1) и (2) получим

$$\sum_{i=1,2} \langle \sigma_i / (\sigma_i + \sigma) \rangle = 1, \quad (3)$$

где угловые скобки означают усреднение по распределению соответствующего собственного значения. Уравнение (3) может быть решено только численно. Заметим однако, что распределение $\sigma_{1,2}$ достаточно узкое. Заменяя значения σ_i в (3) их средними значениями $\sigma_1 = 1$, $\sigma_2 = \langle (1 + \rho^2)^{-1} \rangle \langle (1 + \rho^2) \rangle^{-1}$, получим $\sigma = \sqrt{\sigma_1 \sigma_2}$. Зависимость $\sigma(S)$ в этом случае дается формулой

$$D/D_0 = \sigma = (S \sqrt{\frac{2}{\pi}} \exp(-\frac{1}{2S^2}) (1 - \text{erf}(\frac{1}{\sqrt{2S}}))^{-1} + S^2)^{-1/2}.$$

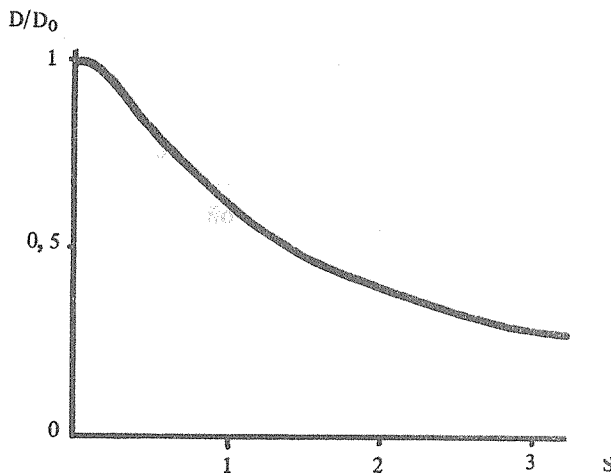


Рис. 1. Зависимость среднего коэффициента диффузии от степени шероховатости поверхности S.

* При таком выборе области результат совпадает с получаемым при использовании решеточной аппроксимации квадратной сеткой сопоставлений (см., напр., [2]).

При $S \rightarrow 0$ $\sigma \approx 1 - 2S^2$, при $S \rightarrow \infty$ $\sigma \approx S^{-1}$. График этой функции показан на рис. 1. Следует отметить, что при $S \rightarrow \infty$, т.е. при большом беспорядке, точность приближения эффективной среды падает. При этом одной только степени шероховатости может оказаться недостаточно для адекватного описания поведения системы: σ может оказаться существенно зависящим от более тонких корреляционных свойств функции $z(x,y)$.

Автор благодарен А.С. Соболеву, обратившему его внимание на рассмотренную задачу в связи с ее биологическими приложениями, и Л.В. Келдышу за полезные обсуждения.

ЛИТЕРАТУРА

1. З а й м а н Дж. Модели беспорядка. М., Мир, 1982.
2. K i r k p a t r i c k S. Rev. Mod. Phys., 45, 574 (1973).
3. Л а н д а у Л. Д., Л и ф ш и ц Е. М. Электродинамика сплошных сред. М., Наука, 1982.

Поступила в редакцию 21 апреля 1987 г.